

دراسة في تقدير غزاره الإشباع في التقاطعات المضبوطة بواسطة الإشارات الضوئية في ظروف مدينة دمشق مقارنة بين القياسات الحقيقة والطريقة التحليلية

¹الدكتور المهندس حسان الخيمي

الملخص

تهدف الدراسات المرورية (Traffic Analysis) إلى تقدير بعض المؤشرات المهمة لتحديد مستوى الخدمة (Level Of Service LOS) على الطرق داخل المدن و خارجها. وتتضمن الكودات العالمية المختلفة العديد من الطرائق التحليلية لإجراء مثل هذه الدراسات. إلا أن استخدام هذه العلاقات في ظروفنا المحلية قد يعطي نتائج غير متطابقة مع الواقع لأن العوامل المستخدمة مناسبة لظروف المرورية السائدة هناك.

هدف هذا البحث إلى تسلیط الضوء على مختلف الطرائق المعتمدة في المراجع العلمية لحساب غزاره الإشباع (Saturation Flow) في التقاطعات المضبوطة بالإشارات الضوئية. إذ يتم في الفصل الأول مقارنة الأسس النظرية في حساب العوامل المؤثرة وفقاً لعدة كودات ومراجع عالمية، ومن ثم يجري تطبيق طريقة الكود الأمريكي (HCM2000) على أمثلة واقعية من عدة تقاطعات مداربة بالإشارات الضوئية داخل دمشق. و في الخطوة التالية يتم شرح تفصيلي لتجربة قياس غزاره الإشباع حقلياً وعرض النتائج المستحصلة لتطبيق عملي على بعض المقاطع المدروسة في مدينة دمشق.

تم مقارنة نتائج القياس الحقلى مع الحساب التحليلي باستخدام علاقات الكود الأمريكية. و يتم استنتاج عوامل تصحيح على العلاقات التحليلية استناداً إلى نتائج القياسات الحقيقة. و يمكن عدّ هذا البحث خطوة أولية في سبيل تطوير كود عربي سوري في مجال الدراسات المرورية لاستحصل نتائج أقرب ما تكون إلى واقعنا المروري المحلي.

¹ مدرس - قسم النقل والمواصلات كلية الهندسة المدنية - جامعة دمشق.

- شرح الطريقة التجريبية في حساب غزارة الإشباع

في التقاطعات المضبوطة في الموقع، وتطبيقها على المقاطع نفسها من الشبكة الطرقية في المدينة.

- مقارنة النتائج الحسابية بالقياسات الحقالية بالنسبة إلى المقاطع المدروسة، واستنتاج عوامل التصحيح.

2- حساب غزارة الإشباع في التقاطعات المدارة بإشارات الضوئية (Saturation Flow Rate)

بالطريقة التحليلية

2-1-العلاقات التحليلية حسب [HCM2000]^[1]:

تحسب غزارة الإشباع لكل مجموعة حارات مرورية (مجموعة المسارب) وفق المعادلة الآتية:

$$S = S_0 \cdot f_W \cdot f_{HV} \cdot f_g \cdot f_{bb} \cdot f_a \cdot f_{LU} \cdot f_{LT} \cdot f_{RPb}$$

[1]

إذ تعبّر غزارة الإشباع عن معدل جريان العربات في الساعة الذي من الممكن أن يستوعب من قبل مجموعة مرورية (Lane group) بفرض أن الزمن الأخضر كان 100% من زمن الدورة الضوئية.

غزارة الإشباع الأساسية (Base Saturation) (Flow :

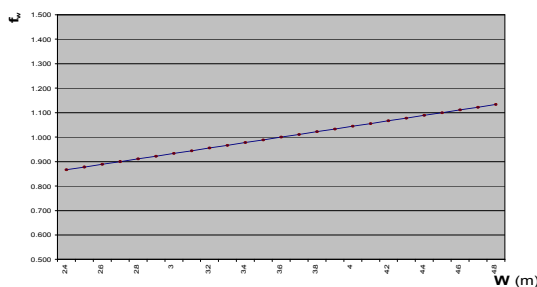
تبدأ عملية الحساب باختيار قيمة أساسية لغزارة الإشباع التي هي عادة حسب [HCM2000] 1900 أي 1900 عربة ركاب في الساعة لكل حارة مرورية.

تعبر غزارة الإشباع الأساسية (S_0) عن قيمة غزارة الإشباع في حال كانت الشروط جميعها في الحالة المثالية أي إنَّ قيم العوامل جميعها = 1، وهي حالة لا تعبّر عن الواقع، لذا يتم تعديل هذه القيمة بإدخال أثر عدة شروط عن طريق الضرب في العوامل السابق ذكرها وذلك كما يأتي:

2-تأثير تغير العوامل المستخدمة في علاقة حساب غزارة الإشباع:

تهدف الدراسات المرورية في مجال تقييم الوضع المروري الراهن إلى تقدير مستوى الخدمة للطرق من خلال العديد من المؤشرات المرورية مثل غزارة الإشباع (Capacity Flow) و السعة (Saturation Flow) وزمن التأخير(Delay Time) و زمن الرحلة (Travel Time)...الخ. وتعطي العديد من الكودات العالمية مثل الكود الأمريكي (HCM2000) بعض العلاقات التحليلية لحساب هذه المؤشرات وتقديرها معتمدة على العديد من المعاملات المستنيرة من خلال تجارب وخبرات محلية. و نظراً إلى اختلاف الظروف المحيطية فإنَّ هذه المعاملات قد تختلف من بلد إلى آخر، لذلك فإنَّ استخدام مثل هذه العلاقات في الحسابات المرورية ضمن ظروفنا المحلية- دون إجراء معايرة للمعاملات الحسابية استناداً إلى دراسات وبحوث محلية- قد يؤدي إلى نتائج غير دقيقة و بعيدة عن الواقع. ومن هنا تتبع أهمية هذا البحث بوصفه الخطوة الأولى في سبيل تحديد خصائص الجريان المروري في ظروفنا المحلية ومقارنة نتائج الحسابات التحليلية بالتجارب الإحصائية الحقالية. التي تهدف بمجملها إلى زيادة الدقة في استنتاج المؤشرات المرورية المهمة والخاصة بظروف الحركة المرورية في مدينة دمشق، وتطوير هذه المنهجية بسبل عملية لاستقراء مدى المردود المروري للمشاريع المقترحة التي تكون عادة باهظة التكاليف.

يحتوي هذا البحث على الخطوات الآتية:
- حساب غزارة الإشباع في التقاطعات المضبوطة باستخدام العلاقات التحليلية وفقاً لدليل السعة المرورية للطرق السريعة الأمريكية (HCM2000) بالمقارنة بكودات عالمية أخرى، مع تطبيق أمثلة على بعض المقاطع في الشبكة الطرقية داخل دمشق.



الشكل 1-2 : تغير المعامل f_w مع تغير عرض الحارة المرورية W حسب [1]
حسب [2]:

في حال قياس زمن التتابع في حارات مرورية ذات عرض متغير، ولكن بشرط أن تكون العوامل الأخرى جميعها (بقية الشروط) في الحالة المثلالية أي أن قيمها = 1.0، فإن أزمنة التتابع المقيدة تأخذ القيم الآتية:

W (m)	h (sec/veh)
3.0	2.6
3.3	2.4
3.6	2.1
3.9	2.0
4.2	1.9

وباعتبار العوامل جميعها ثابتة (مثالية) ماعدا العامل f_w فإنه يمكن اعتبار: $S=S_0 f_w$ و $S_0=\frac{vh}{h_0}$ غزاره الإشباع للحالة المدروسة $S_0=\frac{P_c}{h/l_{gp}}$ غزاره الإشباع الأساسية (المثالية) $f_w=h/h_0$ ، $S_0=3600/h_0$ ، $S=3600/h$ ، $h_0=2.1\text{ sec/v}$ باعتبار العرض المثالي للحارة وتعذر ومنها تكون قيمة العامل f_w كما يأتي:

W (m)	$f_w = h/h_0$
3.0	2.1/2.6=0.81
3.3	2.1/2.4=0.88
3.6	2.1/2.1=1.0
3.9	2.1/2.0=1.05
4.2	2.1/1.9=1.11

ويبين المخطط التالي قيمة العامل f_w الموافقة لعدة قيم من W :

1-2-2 fw عامل تعديل عرض الحارة المرورية (Adjustment for lane width)

حسب [1] [HCM2000] :

يستخدم هذا العامل لإدخال الأثر السلبي للحارات الضيقية على معدل غزاره الإشباع، ويسمح بزيادة قيمة غزاره الإشباع للحارات الواسعة.

يعد العرض المثالي لحارة المرور 3.6m. يحسب هذا العامل مع الانتباه إلى أن عرض الحارة يجب أن لا يزيد على 4.8m إذ يمكن عندها اعتبار حارتى مرور بدلاً من واحدة.

مع ملاحظة أن استخدام حارتى مرور ضيقتين سوف يعطي دائماً قيمة أكبر لغزاره الإشباع عن استخدام حارة واحدة عريضة.

لكن في كلتا الحالتين يجب للتحليل أن يعكس الحالة الحقيقية الموجودة أو المتوقعة حصولها.

ويجب أن لا يقل عرض حارة المرور عن 2.4m في أي حال من الأحوال وإلا لا يتم عد هذه الحارة.

تحسب قيمة هذا العامل من العلاقة الآتية:

$$f_w = 1 + \frac{W - 3.6}{9}$$

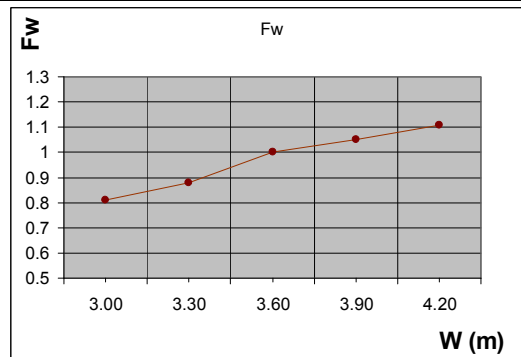
إذ: W عرض الحارة $2.4m < W \leq 4.8m$

ويبين الجدول التالي قيمة العامل f_w المحسوبة لعدة قيم من W :

	W (m)	f_w
min	2.4	0.867
	3.0	0.933
ideal	3.6	1.0
	4.0	1.044
max	4.8	1.133

ويبين المخطط التالي قيمة العامل f_w الموافقة لعدة قيم من W بين 2.4m و 4.8m

دراسة في تقدير غزارة الإشبع في التقاطعات المضبوطة بواسطة الإشارات الضوئية في ظروف مدينة دمشق مقارنة بين القياسات
الحقانية والطريقة التحليلية



الشكل 2-2 : تغير المعامل f_W مع تغير عرض الحارة المرورية W حسب [2]

حسب [3]:

كلما قل عرض الحارة أو كلما ازداد قرب عوائق من الحارة زاد توتر السائق مما يدفع السائق تلقائياً إما لزيادة المسافة بين سيارته والسيارة السابقة واللاحقة لها أو لتحقيق السرعة. وعند حصول ذلك تنخفض غزارة الإشبع.

وتؤخذ قيمة العامل f_W من الجدول التالي حسب عرض الحارة، وحسب وجود العائق من جهة واحدة، أو من جهتين، وحسب عدد حارات المرور:

المسافة من حافة الحارة إلى العائق (m)	حالة وجود عائق من جهة واحدة				حالة وجود عائق من الجهتين			
	W (m)	W (m)	W (m)	W (m)	W (m)	W (m)	W (m)	W (m)
طريق باتجاهين (أربع حارات مرورية بالاتجاهين)								
1.83	1.00	0.97	0.91	0.81	1.00	0.97	0.91	0.81
1.22	0.99	0.96	0.90	0.80	0.98	0.95	0.89	0.79
0.61	0.97	0.94	0.88	0.79	0.94	0.91	0.86	0.76
0	0.90	0.87	0.82	0.73	0.81	0.79	0.74	0.66
طريق ذو ست حارات مرورية أو أكثر بالاتجاهين								
1.83	1.00	0.96	0.89	0.78	1.00	0.96	0.89	0.78
1.22	0.99	0.95	0.88	0.77	0.98	0.94	0.87	0.77
0.61	0.97	0.93	0.87	0.76	0.96	0.92	0.85	0.75
0	0.94	0.91	0.85	0.74	0.91	0.87	0.81	0.70

وتبين المخططات الآتية قيم العامل f_W الموافقة لعدة قيم من W حسب وجود العائق وعدد الحارات:

الشكل 2-3 : تغير المعامل f_W مع تغير عرض الحارة المرورية W حسب [3]

* وفيما يأتي مقارنة بين قيم العامل f_W حسب الطرق الثلاثة السابق ذكرها:

W (m)	HCM2000[1]	f_W	Traffic Engineering\Second Edition[2]				Transportation and Traffic Engineering Hand Book\Second Edition[3]			
			f_W	f_W	f_W	f_W	f_W	f_W	f_W	f_W
3.0	0.933	0.933	0.81	0.81	0.81	0.81	0.91	0.91	0.91	0.91
3.1	0.944	0.944	0.833	0.833	0.833	0.833	0.925	0.925	0.925	0.925
3.2	0.956	0.956	0.856	0.856	0.856	0.856	0.94	0.94	0.94	0.94
3.3	0.967	0.967	0.88	0.88	0.88	0.88	0.955	0.955	0.955	0.955
3.4	0.978	0.978	0.92	0.92	0.92	0.92	0.97	0.97	0.97	0.97
3.5	0.989	0.989	0.96	0.96	0.96	0.96	0.98	0.98	0.98	0.98
3.6	1.0	1.0	1.0	1.0	1.0	1.0	0.99	0.99	0.99	0.99

الجدول 2-1 : تغير المعامل f_W مع تغير عرض الحارة المرورية W

+ Adjustment for heavy vehicles
: (Adjustment for grade
 حسب [11][HCM2000]

سبب وجود عاملين متفصلين لكل من أثر العربات الثقيلة + ميل الطريق، هو توضيح أن عربات الركاب تتأثر بوجود العربات الثقيلة، كما تتأثر باختلاف ميل الطريق.

تعرف العربات الثقيلة بأنها العربات التي عدد عجلاتها أكبر من 4. عامل إدخال أثر العربات الثقيلة يأخذ بالحسبان المساحة الإضافية التي تشغله هذه العربات، والاختلاف في مقدرة تشغيل هذه العربات مقارنة بعربات الركاب.

يؤخذ معامل التكافؤ بالنسبة إلى الشاحنات 2 أي أن كل شاحنة تعادل سيارتي ركاب. أما عامل ميل الطريق فيأخذ بالحسبان تأثير ميل الطريق في تشغيل العربات جميعها.

بحسب هذان العاملان وفق العلاقات الآتية:

- عامل العربات الثقيلة:

$$f_{HV} = \frac{100}{100 + HV\% (E_T - 1)}$$

إذ:
HV%
: النسبة المئوية للعربات الثقيلة إلى كل مجموعة مرورية

E_T = 2.0
 : معامل التكافؤ (عدد سيارات الركاب
 التي تمثل العربة)

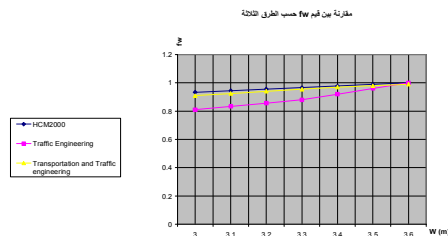
$$f_g = 1 - \frac{G\%}{200}$$

إذ:
G%
الميل الطولي للمجموعة المرورية

- نعبر الإشارة السالبة عن الميل
 6 <= G% <= +10
 باتجاه النزول

حسب [2]:

ويبيّن المخطط التالي قيم عامل عرض الحارة f_W حسب الطرق المذكورة في المراجع الثلاثة:



الشكل 2-4 : مقارنة قيم المعامل f_W مع تغير عرض الحارة المرورية W

ملاحظة:

في ساعات الذروة وعند وجود غزاره مرورية كبيرة من الممكن أن يتم استخدام حارات مرورية ذات عدد أكبر من الحارات المصممة، أي عدم التقيد بحدود الحارات، ومن ثم زيادة عدد الحارات على حساب عرض الحارة الواحدة إذ من الممكن أن يصل إلى قيمته الدنيا.

• بفرض ذراع ذي عرض 14.4m يمكن لعرض الحارة وعدد الحارات أن يتغير حسب الغزاره المرورية، ومن ثم يؤدي إلى تغير قيم عاملين في حساب قيمة غزاره الإشاع، وهما f_W و N ويكون ناتج ضرب العاملين كما يأتي وذلك وفق HCM2000:

N	W (m)	f _W	N. f _W	S/S _{ref} بفرض كانت العامل الأخرى جميعها في الحالة المثالية (1)
6	2.4 (min)	0.867	5.202	1.3
5	2.88	0.92	4.6	1.15
4	3.6 (ideal)	1.0	4.0	1.0
3	4.8 (max)	1.133	3.399	0.85

2-2-2 f_{HV} عامل إدخال أثر العربات الثقيلة + عامل ميل الطريق

لذا فإن وجود 6 عربات ثقيلة قد تسبب زيادة في الزمن بمقدار:

$$95.94 - 89.38 = 6.56 \text{ sec}$$

أي أن كل عربة ثقيلة تسببت زيادة في الزمن بمقدار $6.56/6 = 1.09 \text{ sec/hv}$

أي أن الزمن الفعال (effective saturation) لكل عربة ثقيلة يمكن حسابه من العلاقة (headway) الآتية:

$$2.18 + 1.09 = 3.27 \text{ sec/heavy vehicle}$$

ويمكن من هذه القيمة حساب المعامل المكافئ لكل عربة ثقيلة كما يأتي:

$$E_{HV} = 3.27 / 2.18 = 1.5$$

وبالتعويض في علاقة f_{HV} من HCM2000 :

$$f_{HV} = \frac{1}{1 + HV\%(E_{HV} - 1)}$$

$$f_{HV} = \frac{1}{1 + 0.15(1.5 - 1)} = 0.93$$

وهي النتيجة نفسها التي حصلنا عليها سابقاً.

العامل f_g : يتبين حساب هذا العامل الطريقة نفسها التي اتبعت في حساب العوامل السابقة، وقد اختيرت عدة مواقع ذات قيم ميول مختلفة بالاتجاهين (صعود ونزول)، ولكن الشروط الأخرى جميعها كانت في الحالة المثالية فضلاً عن أنه تم استبعاد الحالات التي كان فيها انعطاف عربات ثقيلة أو مرورها.

تعدُّ الحالة المثلالية بالنسبة إلى الميل هي الأرض المستوية ($G=0\%$ ، وهي الحالة التي تستخدم كمرجع للحساب).

عند قياس زمن التابع h عند ميول مختلفة كانت النتائج الآتية:

$$h(+4\%) = 2.9 \text{ sec/veh}$$

$$h(+2\%) = 2.5 \text{ sec/veh}$$

$$h(0\%) = 2.0 \text{ sec/veh}$$

$$h(-2\%) = 1.8 \text{ sec/veh}$$

$$h(-4\%) = 1.7 \text{ sec/veh}$$

- العامل f_{HV} : يتبع هذا العامل فقط نسبة العربات الثقيلة في التيار المروري، وتعرف العربة الثقيلة بأنها أي عربة لها أكثر من أربع عجلات تلامس الأرض خلال حركتها.

كما في حساب عرض الحرارة، يتم حساب معامل العربات الثقيلة بالاستناد إلى مقارنة بين الفاصل الزمني بين مرکبين متاليتين (headway) المتأثر بوجود العربات الثقيلة، وبين الفاصل الزمني في ظروف مثالية.

تم عملية القياس في مواقع ذات ظروف مثالية، وعموماً في حارات حيث لا يوجد انعطاف، ونظراً إلى أنه لا يمكن التحكم بمرور العربات الثقيلة فقد تمت عملية قياس الفاصل الزمني دون استثناء العربات الثقيلة.

من نتائج القياس:

الزمن المقيس الوسطي:

الزمن المقيس المثالي:

إذ يُعدُ الفرق الوحيد بين h و h_0 هو تأثير العربات الثقيلة.

يعتمد حساب h على 41 عملية قياس تشتمل على مرور 6 عربات ثقيلة.

أما حساب h_0 فيعتمد على 41 قياساً لا تشمل مرور عربات ثقيلة.

- ومنه يمكن حساب عامل تأثير العربات الثقيلة :

$$f_{HV} = \frac{h_0}{h} = \frac{2.18}{2.34} = 0.93$$

- أو يمكن حسابه بطريقة ثانية:

لو فرضنا أ، الـ 41 تجربة كانت في الظروف

المثالية فإن مجموع الزمن الفاصل :

$$41 * 2.18 = 89.4 \text{ sec}$$

أما لو كانت في ظروف غير مثالية فيكون الزمن:

$$41 * 2.34 = 95.94 \text{ sec}$$

181 kg/hp). في الطرق الحرة freeway أو الطرق السريعة multilane highway يكون تأثير تباطؤ أحد مكونات التيار المروري معقداً، وليس مفهوماً بالكامل. في حالة الغزارة المنخفضة على أراضٍ مسطحة نسبياً مع نسبة منخفضة للشاحنات، يكون تأثير هذه الشاحنات في السرعة مهملاً وفقط زيادة الحوادث يمكن أن تؤدي إلى تغير مستوى الخدمة. عموماً بسبب التأثير المشترك لكل من حدود السرعة (89 km/h) (السرعة المسموح بها في الولايات المتحدة) والتطور التدريجي في أداء الشاحنات فإن عربات الركاب والشاحنات تعطي أداءً متقارباً. في حال زيادة نسبة الشاحنات و/أو زيادة خطوة الميل تميل العربات السريعة إلى تجنب الحرارة اليمينية مما يزيد الغزارة في الحالات الأخرى، ومن ثم يؤدي إلى خفض السرعة ومستوى الخدمة للعربات السريعة (شكل عام عربات الركاب).

- الباصات: تقارب خصائص تشغيل الباصات السياحية والسرعة خصائص سيارات الركاب في معظم الظروف. فقط زيادة الطول يمكن لها أن تؤثر في الغزارة. وأشارت البحوث التي أجريت أنه في الطرق الحرة freeway والطرق السريعة expressway مع ميل أقل من 4% يمكن أخذ عامل التكافؤ للباصات بين 1.4 و 1.7 سيارة ركاب أي وسطياً 1.6. أمّا التأثير الصغير فيتم إهماله ولاسيما أن نسبة الباصات في التيار المروري تكون عادة صغيرة جداً، ولكن في بعض الحالات عندما توجد ميل كبيرة ونسبة باصات كبيرة فإن تأثيرها يكون جديراً بأخذها بالحسبان.

- العربات الترفيهية: شهدت زيادة ملحوظة في أعدادها في السنوات الأخيرة في مناطق مختلفة من

$$f_g = h_o/h \longrightarrow f_g (+4\%) = 2.0/2.9 = 0.69$$

$$f_g (+2\%) = 2.0/2.5 = 0.80$$

$$f_g (0\%) = 2.0/2.0 = 1.00$$

$$f_g (-2\%) = 2.0/1.8 = 1.11$$

$$f_g (-4\%) = 2.0/1.7 = 1.18$$

في حالة الميول السالبة (اتجاه نزول) قيم عامل الميل تكون أكبر من 1.0، مما يشير إلى ازدياد الغزارة في حالة الميول السالبة على الغزارة في حالة الأرض المستوية.

حسب [3]:

يأتي تأثير الميل في مستوى الخدمة بسبب السرعات المختلفة للمركبات المختلفة المكونة للتيار المروري. يتعدد مقدار هذا التأثير حسب الطول وخطوة الميل ومقدرة العربات على تسلق المرتفعات التي تحدد بدورها حسب وزن العربة - قوة الحصان.

تعد الميول حتى 2% ذات تأثير مهم في عربات الركاب والباصات الترفيهية الحديثة (14-20 kg/hp). تأثير هذه الميول يتم عادة تجاهله في حسابات السعة عندما تكون نسبة الشاحنات منخفضة. ولكن يكون لها تأثير في السعة وقيم الغزارات عندما يكون الميل سالباً.

معظم عربات الركاب والباصات السياحية (في أمريكا) يمكن لها أن تحافظ على سرعات (48-64 km/h) على ميول عالية تصل حتى 7%. لذلك حتى هذه الميول تعد ذات تأثير مهم في السعة عندما يكون معظم العربات من نوع هذه السيارات أو الباصات.

فيما يأتي شرح لكل نوع من أنواع العربات ذات الحركة البطيئة.

- الشاحنات: التأثير الأساسي للميل يكون على الشاحنات ذات الوزن الثقيل/قوة الحصان. تكون مقدرة هذه العربات على تسلق المرتفعات عادة 91-136-

التوقف المجاورة؛ مما يؤدي إلى تعطيل مؤقت للسير.
كل مناورة (سواء كانت دخولاً أو خروجاً) تعمل على
إيقاف السير في الحارة المجاورة لحارة التوقف مدة
وسطية 18sec.

عدد المناورات المستخدمة في علاقة حساب هذا
العامل هي عدد المناورات لكل ساعة في مناطق
التوقف المجاورة لمجموعة المسارب ولمسافة 75m
من خط التوقف. إذا وجد أكثر من 180 مناورة في

الساعة يتم استخدام العدد 180 في العلاقة.
وإذا كانت حارة التوقف المجاورة لمجموعة المسارب
منعطف، فالعامل المحسوب ينطبق على هذا لمجموعة
المسارب فقط. وعدد المناورات المستخدم في حالة
طريق ذي اتجاه واحد دون حارات انعطاف حصرية
هو العدد الكلي لكلتا جهتي مجموعة المسارب. وتجب
ملاحظة أن ظروف التوقف مع عدم وجود مناورات
لها تأثير مختلف على الغزارة عن حالة عدم وجود
حارة توقف.

تستخدم العلاقة الآتية لحساب هذا العامل:

$$f_p = \frac{N - 0.1 - \frac{18N_m}{3600}}{N}$$

إذ:
 عدد حارات مجموعة المسارب N
 عدد مناورات التوقف/ساعة N_m
 $0 < N_m < 180$
 وبحيث يكون $f_p > 0.050$

في حالة عدم وجود حارة توقف: $f_p = 1$
 حسب [2]:

تأثر غزارة الإشبع في مجموعة المسارب في حالة
وجود حارة خاصة لتوقف السيارات بعاملين:
أولاً- تخصيص هذه الحارة للتوقف وليس للحركة.

العالم. وتشمل هذه العربات الأنواع الآتية: مثل عربات السكن، بيك آب مع مقطورة ...

(campers – pickup with trailers – motor homes) أوما شابه. ويأتي تأثيرها في الغزارة من عدم خبرة السائقين عادة بهذا النوع من المركبات. وبوصفها حديثة فإن البحث المتعلقة بتأثير هذا النوع محدودة، وقد أجريت في المدة الأخيرة فقط.

• طُورَتْ عوامل لتأثير العربات ذات الحركة البطيئة بالنسبة إلى ميل معينة، وتسمى وحدة هذا المعامل passenger car equivalent سيارات الركاب الممثلة للعربة التقليدية (ذات الحركة البطيئة) التي يمكن أن تحل محلها عند ميل معينة أو منطقة معينة.

ولكن حالياً طُورَتْ هذه العوامل للمعادلة الآتية:

$$SM = \frac{100}{100 - P_T + E_T P_T - P_B + E_B P_B - P_{RV} + E_{RV} P_{RV}}$$

إذ:

P_T, P_B, P_{RV}
نسبة الشاحنات، الباصات، السيارات
الترفيهية

E_T, E_B, E_{RV}
معامل التكافؤ من سيارات الركاب لكل
من الشاحنات، الباصات، السيارات
الترفيهية

وتؤخذ النسب المئوية لهذه العربات من القياس، أمّا
معاملات التكافؤ فتؤخذ من جداول خاصة تحدد هذه
العوامل حسب ميل الطريق، وحسب نوع العربة،
ونسبتها المئوية.

Adjustment 3-2-3- عامل وجود حارة توقف (f_p) : (for Parking

حسب [1][HCM2000] العامل f_p يحسب تأثير وجود حارة توقف في الغزارة في مجموعة المسارب (lane group) المجاورة وأيضاً تأثير دخول السيارات وخروجهما من حارة

$$f_p = \frac{0.85 + 1.0(3-1)}{3} = \frac{2.85}{3} = 0.95$$

ويمكن إنشاء جدول يعطي قيم العامل f_p مباشرة حسب f_{pr} و N .

Adjustment 4-2-2 f_{bb} عامل توقف الباصات (for bus blockage) حسب [1]: [HCM2000]

عامل توقف الباصات f_{bb} يحسب تأثير الحركة المحلية للباصات التي تتوقف لنقل ركاباً أو تنزفهم قريباً أو بعيداً عن موقف الباصات لمسافة تصل حتى 75m من خط التوقف. يستخدم هذا العامل فقط في حالة انسداد الطريق في مجموعة المسارب قيد الدراسة بتأثير الباصات. إذا تم إحصاء أكثر من 250 bus/hr يتم استخدام القيمة 250. في العلاقة التالية التي تحسب تأثير توقف الباصات تم اعتماد زمن وسطي لاعتراض الطريق هو 14.4sec خلال الزمن الأخضر.

$$f_{bb} = \frac{N - \frac{14.4N_B}{3600}}{N}$$

إذ:
 عدد حارات الـ مجموعـة المسارـب N
 عدد الباصات المتوقفـة / ساعـة N_B
 $0 <= N_B <= 250$
 $f_{bb} = > 0.050$
 حسب [2]:

أُجريت عملية القياس في مناطق عديدة بحيث تكون حركة الباصات ليست أساسية. وتم قياس الزمن الضائع الوسطي T_L (average time lost) من الباص الواحد، ويعادل هذا الزمن h زمن التتابع حيث يؤثر الباص في العربات التي تليه.

للباسات المتوقفة خارج travel lane :

$$T_L = 3-4 \text{ sec/bus}$$

وثانياً - حركة المركبات من هذه الحارة وإليها يؤثر في الحارة المجاورة ويؤدي إلى تعطيل الحركة فيها. لحساب العامل f_p قيس زمن التتابع في حارات مجاورة لحارات مخصصة للتوقف، بحيث تكون الشروط الأخرى جميعها مثالية: مثلاً عرض الحارة 3.6m، الميل 0%， وتستبعد الحالات التي فيها عربات تقيلة أو انعطاف...

في هذه الشروط قيس عدد الحركات (دخول أو خروج) لمسافة 75m من التقاطع. أمّا الحالة المثلية فتقاس في موقع لا يوجد فيه حارة خاصة للتوقف.

وتم الحصول على النتائج الآتية:

$$h(\text{no parking}) = 2.0 \text{ sec/veh}$$

$$h(\text{parking, 0 mvts/hr}) = 2.1 \text{ sec/veh}$$

$$h(\text{parking, 10 mvts/hr}) = 2.3 \text{ sec/veh}$$

$$h(\text{parking, 20 mvts/hr}) = 2.4 \text{ sec/veh}$$

$$h(\text{parking, 30 mvts/hr}) = 2.6 \text{ sec/veh}$$

$$h(\text{parking, 50 mvts/hr}) = 2.9 \text{ sec/veh}$$

هذه القيم جميعها هي للحارة اليمينية المجاورة لحارة التوقف.

لحساب العامل f_p ، نحسب أولاً العامل f_{pr} الذي هو عامل وجود حارة توقف للحارة اليمينية فقط مع استخدام حالة عدم وجود حارة توقف حالة مثالية h_0 .

$$f_{pr}(0 \text{ mvts/hr}) = h_0/h = 2.0/2.1 = 0.95$$

$$f_{pr}(10 \text{ mvts/hr}) = 2.0/2.3 = 0.87$$

$$f_{pr}(20 \text{ mvts/hr}) = 2.0/2.4 = 0.83$$

$$f_{pr}(30 \text{ mvts/hr}) = 2.0/2.6 = 0.77$$

$$f_{pr}(50 \text{ mvts/hr}) = 2.0/2.9 = 0.69$$

بعد حساب العامل f_{pr} يمكن حساب العامل f_p لمجموعة المسارب

$$f_p = \frac{f_{pr} + 1.0(N-1)}{N} = 0.93$$

إذ: N عدد الحارات في مجموعة المسارب
 كمثال: بفرض $f_{pr}=0.85$ وعدد الحارات في مجموعة المسارب $= 3$ يكون العامل f_p :

استخدامه في المناطق حيث التصميم الجيومترى
وتتدفق السيارات والمشاة أو كلاهما، وتؤخذ قيمته كما
يأى:

$$F_a = \begin{cases} 0.90 & \text{in CBD} \\ 1.00 & \text{in all other areas} \end{cases}$$

حسب [2]:

العامل f_a (عامل نوع المنطقة) يأخذ فقط قيمتين، إداتها مرتبطة بالبيئة غير التجارية non-CBD، والأخرى بالبيئة التجارية CBD. أشارت الدراسات التي أجريت أن مزيج المظاهر الموجودة في مناطق CBD يجعل التقاطع ذو كفاءة أقل من التقاطعات المشابهة، ولكن في مناطق غير تجارية. لحساب هذا العامل حسب زمن التتابع في مناطق ذات خصائص مثالية وغير متأثرة بالانعطاف أو العربات الثقيلة، ولكن اختُرَتْ بحيث يكون بعضها ضمن CBD وأعطت النتائج الآتية:

$$h(\text{non-CBD}) = 2.15 \text{ sec/veh}$$

$$h(\text{CBD}) = 2.26 \text{ sec/veh}$$

$$f_a(\text{CBD}) = 2.15 / 2.26 = 0.95$$

6-2-2 Adjustment عامل استخدام الحارة (for Lane Utilization)

حسب [1] [HCM2000]:

يحسب عامل استخدام الحارة f_{LU} التوزع غير المنتظم للمرور في الحالات المشكّلة لمجموعة المسارب التي تحتوي أكثر من حارة. يعتمد حساب هذا العامل على المرور في الحارة بأعلى غزاره ويحسب من العلاقة:

$$f_{LU} = \frac{V_g}{V_{g1} N}$$

إذ:

عامل استخدام الحارة f_{LU}

معدل تدفق الحركة المرورية غير المضبوط V_g

معدل تدفق الحركة المرورية في حارة واحدة V_{g1}

مع وجود أعلى قيمة للغزاره في المجموعة

عدد الحالات المشكّلة لمجموعة المسارب N

للباصات المتوقفة داخل travel lane : $T_L = (g/c)(D+6)$

T_L sec/bus
إذ:

T_L الزمن الصائع
 g الزمن الأخضر الفعال
 c طول الدورة الضوئية
 D زمن dwell الوسطي لكل باص

ويمكن لحساب f_{bb} استخدام العلاقة الآتية:

$$E_B = \frac{T_L}{h_o}$$

$$f_{bb} = \frac{1}{1 + P_B(E_B - 1)}$$

إذ:

E_B معامل التكافؤ للباصل

P_B نسبة الباصات في تيار المرور

5-2-2 f_a عامل نوع المنطقة (Area Type)

: (Area Type)

حسب [1] [HCM2000]:

يحسب عامل نوع المنطقة f_a التأثير النسبي لقلة كفاءة التقاطعات الواقعة في قطاعات تجارية بالمقارنة بالتقاطعات في قطاعات أخرى.

تطبيق هذا العامل يناسب المناطق ذات الخصائص التجارية (CBD) (central business district). تتضمن هذه الخصائص: مناورات التوقف المتكررة بكثرة - إعاقة الطريق بتوقف السيارات - الحركة الكبيرة للباصات وسيارات التاكسي - انعطافات ذات أنصاف قطر صغيرة - استخدام محدود للحارات المحددة للانعطاف - حركة كبيرة للمشاة - كثافة بشريه....

يتحدد استخدام هذا العامل حسب الحالة نفسها، فهذا العامل ليس مقتصرًا على مناطق CBD وليس من الواجب استخدامه في مناطق كلها CBD. ولكن يجب

حسب [2]:

عند قياس زمن التتابع headway للعربات المنعطفة نحو اليمين وجد أنه أطول من زمن التتابع للحركة المستقيمة، وأيضاً تتأثر العربات في الطابور الذي يلي العربة المنعطفة نحو اليمين. يعد العامل الرئيسي المؤثر في حركة الانعطاف نحو اليمين هو حجم المشاة المعترضين للعربات المنعطفة لليمين.

يعتمد امتداد وتوقف حركتي المشاة والانعطاف نحو اليمين على تصميم التقاطع وعلى أطوار إشارته الضوئية، ويمكن التمييز بين سبع حالات مفصلة عن بعضها بعضاً:

1. حارة حصرية للانعطاف اليميني مع طور انعطاف يميني محمي.

2. حارة حصرية للانعطاف اليميني مع طور انعطاف يميني مفتوح (مموج).

3. حارة حصرية للانعطاف اليميني مع طور انعطاف يميني محمي + مموج.

4. حارة انعطاف يميني مشتركة مع طور انعطاف يميني محمي.

5. حارة انعطاف يميني مشتركة مع طور انعطاف يميني مموج.

6. حارة انعطاف يميني مشتركة مع طور انعطاف يميني محمي + مموج.

7. ذراع ذو حارة واحدة فقط.

- طور الانعطاف اليميني محمي هو الذي يكون غير مموج فيه للمشاة اعتراض حركة المرور واستخدام ممرات المشاة خلال الحركة اليمينية.

- طور الانعطاف اليميني مموج: يعد حتى الآن أكثر أنواع التحكم بالإشارات الضوئية تميزاً. إذ يسمح للعربات الانعطاف نحو اليمين مع مراعاة حركة المشاة في ممر المشاة.

- يطبق هذا العامل لحساب التنوع في تدفق المرور في الحالات المشكلة لمجموعة المسارب بسبب خصائص الطريق، مثل التغير في عدد الحالات المتاحة، أو خصائص الحركة المرورية مثل حركات الانعطاف الثقيلة.

- في حال كانت قيمة التوزع معروفة من الدراسة الحقلية يجب استخدامها في المعادلة. يأخذ العامل f_{LU} قيمة 1.00 عندما يكون هناك توزع منتظم للحركة المرورية في الحالات المطلقة لمجموعة المسارب جميعها، أو عندما يحتوي المجموعه المسارب على حارة واحدة فقط.

7-2-2 f_{RT} عامل الانعطاف نحو اليمين (Adjustment for right turns)

حسب [1] [HCM2000]

يعكس عامل الانعطاف نحو اليمين f_{RT} تأثير الخصائص الجيومترية، حيث يعتمد على مجموعة من المتغيرات، من ضمنها:

- إذا كان الانعطاف نحو اليمين من حارة مخصصة لذلك أو من دارة مشتركة.

- نسبة العربات التي تتبع نحو اليمين من الحالات المشتركة.

يأخذ هذا العامل القيمة 1.0 إذا كانت مجموعة المسارب لا يحتوي أي انعطاف يميني، ويحسب من العلاقات الآتية:

$f_{RT} = 0.85$	حارة خاصة بالانعطاف اليميني
$f_{RT} = 1.0 - (0.15)P_{RT}$	حارة مشتركة
$f_{RT} = 1.0 - (0.135)P_{RT}$	حارة وحيدة

إذ P_{RT} : نسبة العربات التي تتبع نحو اليمين في مجموعة المسارب.

ويجب أن يتحقق هذا العامل الشرط الآتي: $f_{RT} \geq 0.050$

- حارة الانعطاف اليمني المشتركة: هي الحارة التي تكون فيها حركة عربات مستقيمة فضلاً عن العربات المنعطفة نحو اليمين.
- إذا كانت حركة الانعطاف نحو اليسار تتم من حارة خاصة أو مشتركة.
- نوع الطور (محمي - مسموح - محمي+مسموح).
- نسبة العربات المنعطفة نحو اليسار في حارة مشتركة من مجموعة المسارب.
- معدل المرور المعارض (المقابل) عندما يكون الانعطاف نحو اليسار مسموحاً.
- فضلاً عن عامل تأثير المشاة الذي يعتمد على قيم غزاره المشاة.

يستخد عامل الانعطاف نحو اليسار f_{LT} ست حالات:

1. حارة حصرية + طور محمي.
2. حارة حصرية + طور مفتوح.
3. حارة حصرية + طور محمي+مسموح.
4. حارة مشتركة + طور محمي.
5. حارة مشتركة + طور مسموح.
6. حارة مشتركة + طور محمي+مسموح.

ويأخذ هذا العامل القيم التالية في الطور المحمي:

$f_{LT} = 0.95$	حارة حصرية
$f_{LT} = \frac{1}{1.0 + 0.05P_{LT}}$	حارة مشتركة

إذ P_{LT} : نسبة حركة الانعطاف نحو اليسار في مجموعة المسارب.

حسب [2]:

يعد حساب هذا العامل f_{LT} أعقد من حساب العامل f_{RT} . يمكن للانعطاف نحو اليسار أن يحدث ضمن الشروط الأساسية الثانية المتعلقة بالأبعاد الهندسية وأطوار الإشارة نفسها التي ذكرت في العامل f_{RT} . ولكن في حالة الانعطاف نحو اليسار، يعد الانعطاف

- حارة حصرية للانعطاف اليمني: هي الحارة المخصصة للعربات المنعطفة لليمين.
- وهناك أيضاً عوامل أخرى تؤثر في هذه الحركة منها: نسبة حركة الانعطاف نحو اليمين بالنسبة إلى كامل الحركة المرورية، عدد المشاة المعرضين للحركة اليمنية الذين يستخدمون ممر المشاة، ونسبة الانعطاف اليمني خلال الجزء المحمي من الطور المحمي + المسموح.

لحساب العامل f_{RT} يجب أن يتم اختيار موقع بحيث تكون العوامل الأخرى جميعها في الحالة المثالية، ثم تقارن قيم زمن التتابع الناتجة في هذه المواقع بالقيم المقيسة في مواقع أخرى ذات شروط مثالية ماعدا أنها

تسمح بالانعطاف اليمني:

$$f_{RT} = \frac{h_o}{h}$$

$$f_{RT} = \frac{f_{RT_r} + (N - 1)}{N}$$

إذ:

	عامل الانعطاف نحو اليمين للحارة اليمنية فقط	f_{RT_r}
	عامل الانعطاف نحو اليمين للمجموعة المسارب	f_{RT}
	عدد الحرارات في لمجموعة المسارب	N
sec/veh	زمن التتابع المثالي	h_o
sec/veh	زمن التتابع المقيس في الحارة اليمنية	h

8-2-2 f_{LT} عامل الانعطاف نحو اليسار
(Adjustment for left turns)

1-1- حسب [1] [HCM2000]

حدّدت خصائص الجريان المروري من خلال مجموعة من الإحصاءات الحقلية و تعدادات مرورية و قياسات في الموقع تمت في سياق الدراسة المرورية لمحور المهدى بن بركة. و يحتوي الجدول (2-2) المعطيات الأساسية المرورية و الجيومترية الازمة للحساب.

وباستخدام المعطيات السابقة تُحسب قيمة المعاملات المؤثرة بتطبيق العلاقات الواردة في الكود الأمريكي (HCM2000) ، ومن ثم تُحسب قيمة غزاره الإشباع. وتلخص نتائج الحسابات في الجدول (3-2). نورد فيما يلي مخططات توضيحية للتقطيعات المدرسة، إذ تمثل الأشكال 2-5 مساقط التقطيعات المدرسة موضحاً عليها أسماء الشوارع ، وتبيّن الأشكال 2-6 مساقط لهذه التقطيعات موضحاً عليها موقع ممرات المشاة، أما الأشكال 2-7 فتبين مخططات أنظار الإشارات الضوئية في التقطيعات المدرسة.



الشكل 2-5-1 تقاطع المدفع



الشكل 2-5-2 تقاطع عرنوس

المحمي هو الذي يتم مع منع الحركة المستقيمة المقابلة.

لحساب هذا العامل قُسم الطور الأخضر الفعال إلى ثلاثة أقسام:

g_g : الجزء المسود من الطور الأخضر، الانعطاف اليساري معترض بالسماح بحركة الطابور المقابل.

g_u : الزمن الابتدائي أي الزمن اللازم لوصول أول عربة منعطفة نحو اليسار للخدمة. خلال هذا الزمن يمكن للعربات ذات الحركة المستقيمة في حارة مشتركة (مستقيمة + يسارية) أن تتبع حركتها.

g_b : الجزء غير المشبع من الطور الأخضر. إذ إنَّ العربات المنعطفة لليسار تتحرك خلال تيار مقابل غير مشبع.

لحساب هذا العامل هناك نماذج معقدة يمكن أن تُحسب فقط في حال وجود جهود بحث كبيرة، لذا فإنَّ من النادر استخدام هذا العامل في قواعد محلية.

9-2-2 عامل تأثير المشاة والدراجات : **(Adjustment for pedestrians and bicycles)**

حسب [1]: يُحسب عامل حركة المشاة والدراجات نحو اليمين f_{RPb} وعامل حركة المشاة والدراجات نحو اليسار f_{LPb} بالاعتماد على عدة عوامل، وهي كثافة المشاة الوسطية، نسبة الزمن الأخضر، نسبة انعطاف العربات نحو اليمين.

9-2-3 أمثلة على حساب غزاره الإشباع / دراسة حالة أربعة تقاطعات مدارة بالإشارات الضوئية في مدينة دمشق

وتشمل هذه الدراسة التقاطعات الآتية: تقاطع المدفع ، تقاطع عرنوس، تقاطع الشهبندر وتقاطع عين جالوت

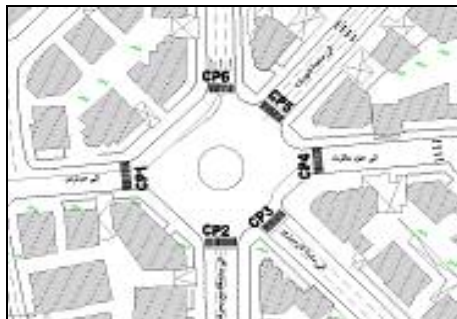
دراسة في تقدير غزارة الإشاع في التقاطعات المضبوطة بواسطة الإشارات الضوئية في ظروف مدينة دمشق مقارنة بين القياسات الحقلية والطريقة التحليلية



حركات المشاة تقاطع عين جالوت



الشكل 2-5-3 تقاطع الشهبندر

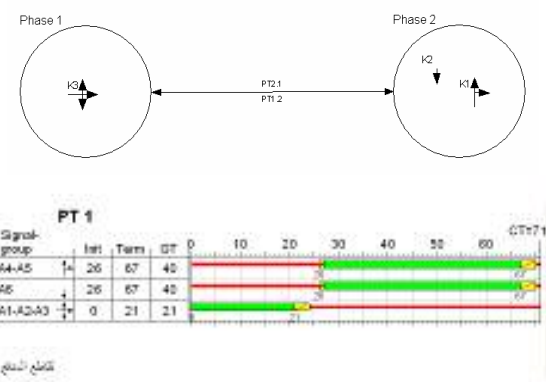


حركات المشاة تقاطع الشهبندر

الشكل 2-6: مخططات توضيحية لحركات المشاة



الشكل 2-5-4 تقاطع عين جالوت



الشكل 2-7-1: مخطط الدورة الضوئية وأطوار الحركة (تقاطع المدفع)



حركات المشاة تقاطع عرنس



حركات المشاة تقاطع المدفع

بيانات المراقبة الميدانية لتقاطع عين جالوت											
الرقم	النقطة	الارتفاع	العرض	الجهة	الزاوية	الزاوية	الزاوية	الزاوية	الزاوية	الزاوية	الزاوية
1	AP1	1668	0	0	-10.74	1.1	0.00	1	40.11.27		
2	AP2	796	0	0	-0.74	2.1	0.00	1	20.11.27		
3	AP3	608	0	4	-0.74	2.1	0.00	1	20.11.27		
4	AP4	715	0	0	0.74	2.1	0.00	1	20.11.27		
5	BP1	552	0	0	0.74	1.1	0.00	1	20.11.27		
6	BP2	684	0	0	0.74	1.1	0.00	1	20.11.27		
7	BP3	693	0	0	0.74	1.1	0.00	1	20.11.27		
8	BP4	1404	0	0	0.74	1.1	0.00	1	20.11.27		
9	BP5	757	0	0	0.74	1.1	0.00	1	20.11.27		
10	BP6	413	0	0	0.74	1.1	0.00	1	20.11.27		
11	BP7	516	0	0	0.74	1.1	0.00	1	20.11.27		
12	BP8	397	0	0	0.74	1.1	0.00	1	20.11.27		
13	BP9	715	0	0	0.74	1.1	0.00	1	20.11.27		
14	BP10	1431	0	0	0.74	1.1	0.00	1	20.11.27		
15	CP1	679	0	0	0.74	2.1	0.00	1	20.11.27		
16	CP2	377	0	0	0.74	2.1	0.00	1	20.11.27		
17	CP3	457	0	0	0.74	2.1	0.00	1	20.11.27		
18	CP4	371	0	0	0.74	2.1	0.00	1	20.11.27		
19	CP5	725	0	0	0.74	2.1	0.00	1	20.11.27		
20	CP6	611	0	0	0.74	2.1	0.00	1	20.11.27		
21	EP1	283	0	0	0.74	3.1	0.00	1	20.11.27		
22	EP2	303	0	0	0.74	3.1	0.00	1	20.11.27		
23	EP3	177	0	0	0.74	3.1	0.00	1	20.11.27		
24	EP4	220	0	0	0.74	3.1	0.00	1	20.11.27		
25	EP6	175	0	0	0.74	3.1	0.00	1	20.11.27		

الجدول 2-2 : المعطيات الجيومترية و المرورية لتقاطعات المدرسة

V	المر	التقاطع	المدرسة
person/h			
1668	AP1		
796	AP2		
608	AP3		
715	AP4		
552	BP1		
684	BP2		
693	BP3		
1404	BP4		
757	BP5		
413	BP6		
516	BP7		
397	BP8		
715	BP9		
1431	BP10		
679	CP1		
377	CP2		
457	CP3		
371	CP4		
725	CP5		
611	CP6		
283	EP1		
303	EP2		
177	EP3		
220	EP4		
175	EP6		

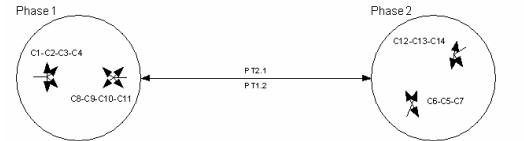
الجدول 2-3 : غزارات المشاة المقيدة في ممرات المشاة الواقعه على تقاطعات المدرسة



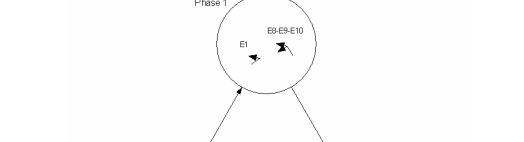
الشكل 2-7-2: مخطط الدورة الضوئية وأطوار الحركة في تقاطع عروس



الشكل 2-7-3: مخطط الدورة الضوئية وأطوار الحركة في تقاطع الشهبندر



الشكل 2-7-4: مخطط الدورة الضوئية وأطوارها في تقاطع عين جالوت



الشكل 2-7-4: مخطط الدورة الضوئية وأطوارها في تقاطع عين جالوت

دراسة في تقدير غزاره الإشبع في التقاطعات المضبوطة بواسطة الإشارات الضوئية في ظروف مدينة دمشق مقارنة بين القياسات
الحقانية والطريقة التحليلية

غزارة الإشبع S Saturation (veh/h)	غزارة الإشبع الرئيسية So (veh/h)	عامل حاصل ضرب جميع العوامل المؤثرة في المشاة والدراجات والسيارات لليمن F_{Rpb}	عامل حركة المشاة والدراجات لليمن F_{RT}	عامل الانعطاف لليمن F_{LT}	عامل الانتعاف من الـ مجموعة المسارب F_{LU}	عامل أثر نوع البيانات المنطقة F_a	عامل أثر توقف وجود حرارة مراب F_{bb}	عامل ميل الطريق F_G	عامل تأثير العربات الثقيلة F_{HV}	عامل عرض الجارة F_W	عدد الجارات N	lane group	رقم النرايع	القطع	
1129	1900	0.594	1	0.84	1.000	0.989	1								
3069	1900	0.808	1	1	1.000	1.000	1								
1059	1900	0.558	0.85	1	0.912	1.000	1								
1783	1900	0.938	1	1	1.000	1.000	1								
1146	1900	0.603	1	0.9	0.850	1.000	1								
2963	1900	0.780	1	1	1.000	1.000	1								
1156	1900	0.608	1	0.86	1.000	0.987	1								
3111	1900	0.819	1	1	1.000	1.000	1								
1041	1900	0.548	0.84	1	0.911	1.000	1								
1299	1900	0.684	1	1	0.908	1.000	1								
3764	1900	0.660	1	1	0.850	1.000	1								
5670	1900	0.995	1	1	1.000	1.000	1								
3099	1900	0.816	1	1	0.984	1.000	1								
2784	1900	0.733	1	1	0.981	1.000	1								
3858	1900	0.677	1	1	0.886	1.000	1								
2695	1900	0.709	1	1	0.981	1.000	1								
2851	1900	0.750	1	1	1	1	1								
3707	1900	0.650	1	1	0.85	1	1								
1714	1900	0.902	1	1	1	1	1								
1392	1900	0.733	1	1	1	0.95	1								
2931	1900	0.771	1	1	1	1	1								
1285	1900	0.676	1	1	0.94195	1	1								

تنمية الجدول 2-4 : العوامل الحسابية و غزارة الإشبع

المحسوبة باستخدام العلاقات التحليلية للتقاطعات المدروسة

الجدول 2-4 : العوامل الحسابية و غزارة الإشبع المحسوبة

باستخدام العلاقات التحليلية للتقاطعات المدروسة

لمناطق الدراسة قيمة أولية. وبالطبع فإن هذه القيم الافتراضية يتم استخدامها كقيم تقريرية فقط. في ظروف محلية (خاصة) يمكن لغزارة الإشباع المقيسة حقلياً أن تختلف اختلافاً كبيراً عن غزارة الإشباع المحسوبة تحليلياً.

طريقة القياس:

يبين المثال التالي طريقة قياس غزارة الإشباع لحارة واحدة. يوصى باستخدام شخصين لإجراء القياس الحقلـي ولكن يمكن الالتفاف بشخص واحد مع مسجل أو كمبيوتر محمول مزود ببرامج مناسبة. فيما يلي تعريف باللاحظات والمهام الحقلـية، والتي يجب ضبط إجرائها حسب نوع الأجهزة المستخدمة.

1. المهام العامة (General Tasks): قياس وتسجيل صنف المنطقة - عرض الحرارة - الميل - وتسجيل ذلك في استماره القياسي. اختيار نقطة للمراقبة بحيث يكون خط التوقف ومسافة التتابع للعربات في الحرارة المدروسة واضحة الرؤية. تكون عادة النقطة المرجعية هي خط التوقف إذ يجب على العربات باستمرار أن تقف وراء هذا الخط لأنَّ العربة عندما تعبر هذا الخط دون عرقلة تدخل بعدها منطقة التقاطع.

2. المهام المسجلة (Recorded Tasks): ملاحظة العربة الأخيرة في الطابور المتوقف عندما تتحول الإشارة إلى اللون الأخضر. ويجب التمييز على ورقة التسجيل أي العربات تقيلة وأليها تعطف نحو اليمين أو نحو ليسار. ويجب أيضاً تسجيل قيمة الوقت المقيس.

3. المهام الزمنية (Timer Tasks): تشغيل الساعة الموقتة عند بداية الزمن الأخضر والعد بصوت عالٍ كل عربة في الطابور، عندما يعبر المحور الخلفي لها خط التوقف وملحوظة وقت العبور وتسجيل الوقت من

3 القياسات الحقلـية لغزارة الإشباع عند التقاطعات المدروسة (Saturation Flow Rate):

- تعبـر غزارة الإشباع عن معدل التصريف الأقصى خلال الزمن الأخضر وعادة يتم تحقيقها بعد 10s إلى 14s من الزمن الأخضر الذي يوافق عادة عبور المحور الأمامي لسيارة الركـاب الرابعة إلى السادسة لخط التوقف بعد بداية الزمن الأخضر.

- تعرف غزارة الإشباع الأساسية بأنـها معدل التصريف من طابور متوقف في حارة مرور عرضها 3.6m ويحتوي فقط على سيارات ركـاب وغير متأثر بظروف مثل الميل - حارة التوقف - والعربات المنعطفة. يتم تسجيل العربات عندما يعبر محورها الأمامي خط التوقف. تبدأ عملية القياس في بداية الزمن الأخضر أو عندما يعبر المحور الأمامي لأول عربة في الطابور خط التوقف.

- بينما تحسب غزارة الإشباع الفعلـية من زمن التتابع بعد مرور العربة الرابعة في الطابور لخط التوقف.

- غزارة الإشباع الأساسية عادة تكون ثابتة مدة من الزمن في شروط مرورية مشابهة في المجتمعات المعطاء، وقيمتـها في الحرارة نفسها خلال ظروف مرورية متكررة على مدار أيام الأسبوع. أمـا غزارة الإشباع في مجتمعات مختلفة أو ظروف مرورية مختلفة حتى لو في الموقع نفسه فسوف تكون مختلفة بصورة ملحوظة.

لأغراض عملية يعبر عن غزارة الإشباع السائدة بـ $veh/hr/in$ و كنتـيجة لذلك تعتمد هذه القيمة على تركيبة الحركة المرورية المدروسة. أمـا القيم الافتراضية فيعبر عنها بـ $pc/hr/in$. ومن الأفضل طبعـاً قياس غزارة الإشباع الفعلـية مباشرة، ومن الممكن استخدام طريقة العلاقات التحلـيلـية كـديل عن عملية القياس بإدخـال قيمة غزارة الإشباع الأساسية

والعربات المنعطفة حتى تستخدم في الحسابات
كمرجع.

طريقة الإحصاء المتبعه حسب [4]:
لقياس غزارة الإشبع يستخدم مراقب مع ساعة
ميقاتية. وهناك النموذج المرفق يستخدم لتدوين
القياسات المأكولة. يشغل المراقب الساعة عندما يعبر
المحور الخلفي للعربة الرابعة في الطابور خط
التوقف. ويوقفها عندما تعبر العربة الأخيرة في
الطابور المتوقف (خلال الزمن الأخضر) خط التوقف.
(أي مثلاً يشغل الساعة عند العربة الرابعة ويوقفها
عند الثامنة ويسجل الزمن في العمود الخاص بالعربة
الثامنة). لا يمكن عد الحالات التي يكون فيها طول
الطابور أقل من سبع عربات، لأنَّ الطابور القصير
يعطي نتائج غير ثابتة. أما إذا كان طول الطابور أكثر
من 10 عربات فيوقف المراقب الساعة عند العربة
العاشرة.

استماراة قياس غزارة الإشبع حقلياً

	الوقت	تقاطع :
	التاريخ	الشارع:
		الحارة:
الفاصل الزمني بين العربة الرابعة و.....		
1	7th	8th
2		
3		
4		
5		
6		
7		
8		
9		
10		
المجموع	a	b
	c	d

$$S = \frac{(3600 * 10)}{(a/3 + b/4 + c/5 + d/6)}$$

$$= \boxed{Veh/h}$$

يعدُّ عدد العربات 10 كحد أقصى قيمة ملائمة بحيث
تقل فرص حدوث أخطاء ناتجة عن تأثير التصريف

العربة الرابعة إلى العاشرة، وأخر عربة في الطابور
المتوقف عندما يعبر محورها الأمامي خط التوقف.

في حال كان هناك عربات ما زالت تدخل التقاطع في
نهاية الزمن الأخضر، وتجب ملاحظة أي أحداث غير
عادية التي من الممكن أن تؤثر في غزارة الإشبع.
تبدأ مدة قياس غزارة الإشبع عندما يعبر المحور
الأمامي للعربة الرابعة في الطابور خط التوقف أو
النقطة المرجعية المعترضة، وتنتهي عندما يعبر المحور
الأمامي للعربة الأخيرة في الطابور خط التوقف
(يمكن لأخر عربة في الطابور أن تكون قد انضمت
إلى الطابور خلال الزمن الأخضر).

تؤخذ قيم القياس دورة بعد دورة. لكل دورة يتم طرح
الزمن المسجل للعربة الرابعة من الزمن المسجل
لآخر عربة في الطابور. تعبر هذه القيمة عن مجموع
أزمنة التتابع للعربات (n-4) إذ n هو رقم العربة
الأخيرة المحصاة (من الممكن أن لا تكون العربة
الأخيرة في الطابور) ويتم تقسيم هذا الرقم على عدد
أزمنة التتابع بعد العربة الرابعة (يعني يتم التقسيم على
(n-4)) للحصول على زمن التتابع الوسطي لكل
عربة. وغازرة الإشبع هي ناتج قسمة 3600 على
هذه القيمة.

مثال: إذا كان زمن مرور العربة الرابعة 10.2s
والعربة 14 التي هي الأخيرة 36.5s يكون وسطي
زمن التتابع للعربة $S = \frac{36.5 - 10.2}{14 - 4} = 2.63$
 s/veh

$$S = \frac{3600}{2.63} = 1369 \text{ veh/h}$$

ولحصول على قيمة إحصائية واقعية، يجب إجراء
التجربة لـ 15 مرة على الأقل ويوجد أكثر من 8
عربات في الطابور. القيمة الوسطية لقيم غزارة
الإشبع المقيدة تعبر عن غزارة الإشبع السائدة في
الحارة المدروسة. ويجب تسجيل نسبة العربات الثقيلة

يرغب الحصول عليها في تجربة قياس غزارة الإشباع. فمثلاً إذا كان الخطأ المسموح لا يزيد على d عربية/ساعة، فيتم تحديد حجم العينة (n) بالعلاقة:

$$n = \left(z \frac{S}{d} \right)^2$$

إذ:

حجم العينة(عدد مرات الإحصاء)

 n

قيمة الانحراف المعياري للتوزع الاحصائي لغزارة

 S

الإشباع

 s

ثابت يتعلق بالتوزع الطبيعي المعياري حسب مستوى الثقة من الجدول التالي

 Z

نسبة الثقة Percent confidence	Z
90	1.64
95	1.96
99	2.58
99.5	2.81

بعد جمع البيانات من عملية القياس تحسب غزارة الإشباع من المعادلة الموجودة في أسفل استمار الإحصاء كما يأتي:

$$S = \frac{3600n}{\frac{a}{3} + \frac{b}{4} + \frac{c}{5} + \frac{d}{6}}$$

 n عدد مرات المراقبة

a,b,c,d مجموع البيانات في الأعمدة الخاصة بالعربة السابعة - الثامنة - التاسعة - العاشرة.
(الواحدة second)

(spillback) أو تأثير العربات المتوقفة خلال الزمن الأحمر. ويجب على المراقبين إهمال العربات التي تتضم إلى الطابور بعد بداية الزمن الأخضر. كل مراقب يسجل بيانات غزارة الإشباع لحارة واحدة في كل مرة. وعادة غزارة الإشباع المقيسة لحارة واحدة يمكن تطبيقها على الحارات المكافئة لها أي الحارات من النوع نفسه في الذراع نفسه.

العوامل التي تؤثر في غزارة الإشباع هي: الميل - عرض الحارة - موقع التقاطع (صنف المنطقة) - نوع الحارة - وجود حارات توقف - ولذلك يجب على المهندس اختيار الأذرع بعناية لضمان الحصول على نتائج غير نظامية. فعلى سبيل المثال لا يمكن استخدام غزارة الإشباع المقيسة في ذراع منحدر لتحليل ذراع مستو. أيضاً العربات الثقيلة تؤثر في غزارة الإشباع، ولذلك يجب على المراقب أن لا يسجل البيانات في حال كان هناك عربات ثقيلة في أول سبعة أماكن في الطابور. أما إذا كانت العربة الثقيلة هي العربة الثامنة فيمكن للمراقب أن يسجل الزمن بين العربة الرابعة والسابعة. وأيضاً يجب عدم التسجيل في حال كان هناك باصات متوقفة في التيار الموري، أو عربات منعطفة نحو اليسار تنتظر الحركة المقابلة. أو عربات منعطفة نحو اليمين تنتظر حركة المشاة (يمكن عندها استخدام العلاقات التحليلية).

يجب على المراقب الوقوف بجانب التقاطع إذ يمكن ملاحظة الحارة المدروسة بوضوح، خط التوقف، والإشارة الضوئية. ويجب أن يحقق الموقع أيضاً إمكانية رؤية الطابور لمسافة 200 قم أو حتى العربة العاشرة.

يتوقف عدد مرات الإحصاء على الدقة المطلوبة. حيث يكون لدى المهندس عادة معرفة بالدقة التي

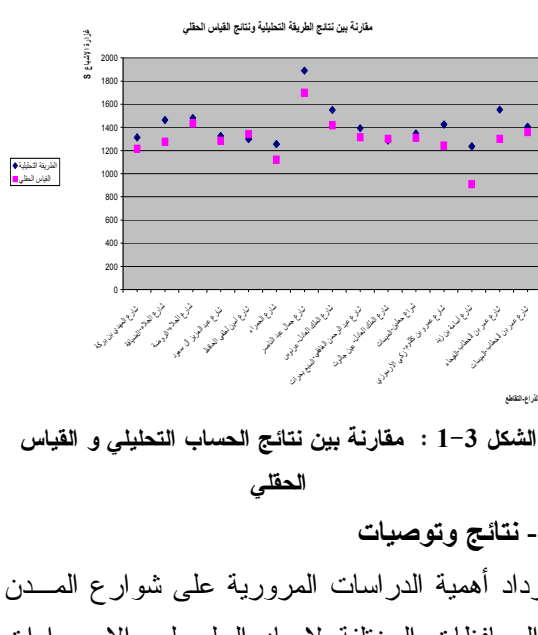
دراسة في تقدير غزارة الإشاع في التقاطعات الضبوطة بواسطة الإشارات الضوئية في ظروف مدينة دمشق مقارنة بين القياسات الحقلية والطريقة التحليلية

3- مقارنة بين نتائج القياسات الحقلية ونتائج العلاقات التحليلية

يبين الجدول التالي قيم غزارة الإشاع الناتجة من كلتا الطريقتين للحارة الواحدة أي أن الواحدة هي (عربة/ساعة/حارة) للحالات المدروسة: veh/hr/ln

النقطة	الناتج		مقدار الإنذار المنشورة (veh/h)			
	الطريق	الناتج				
النقطة 1	شارع العبدلي - طريق المزة	١	٤	٣٢٩	٣٣٨	٣٣٧
	شارع العبدلي - طريق المزة	٢	٣	٣٢٩	٣٤٥	٣٣٧
	شارع العبدلي - طريق المزة	٣	٢	٣٦٥	٣٦٥	٣٦٣
النقطة 2	شارع العبدلي - طريق المزة	٤	٤	٣٦٥	٣٦٥	٣٦٣
	شارع العبدلي - طريق المزة	٥	٣	٣٦٥	٣٦٥	٣٦٣
	شارع العبدلي - طريق المزة	٦	٣	٣٦٥	٣٦٥	٣٦٣
النقطة 3	شارع العبدلي - طريق المزة	٧	٣	٣٦٥	٣٦٥	٣٦٣
	شارع العبدلي - طريق المزة	٨	٣	٣٦٥	٣٦٥	٣٦٣
	شارع العبدلي - طريق المزة	٩	٣	٣٦٥	٣٦٥	٣٦٣
النقطة 4	شارع العبدلي - طريق المزة	١٠	٣	٣٦٥	٣٦٥	٣٦٣
	شارع العبدلي - طريق المزة	١١	٣	٣٦٥	٣٦٥	٣٦٣
	شارع العبدلي - طريق المزة	١٢	٣	٣٦٥	٣٦٥	٣٦٣
النقطة 5	شارع العبدلي - طريق المزة	١٣	٣	٣٦٥	٣٦٥	٣٦٣
	شارع العبدلي - طريق المزة	١٤	٣	٣٦٥	٣٦٥	٣٦٣
	شارع العبدلي - طريق المزة	١٥	٣	٣٦٥	٣٦٥	٣٦٣
النقطة 6	شارع العبدلي - طريق المزة	١٦	٣	٣٦٥	٣٦٥	٣٦٣
	شارع العبدلي - طريق المزة	١٧	٣	٣٦٥	٣٦٥	٣٦٣
	شارع العبدلي - طريق المزة	١٨	٣	٣٦٥	٣٦٥	٣٦٣
النقطة 7	شارع العبدلي - طريق المزة	١٩	٣	٣٦٥	٣٦٥	٣٦٣
	شارع العبدلي - طريق المزة	٢٠	٣	٣٦٥	٣٦٥	٣٦٣
	شارع العبدلي - طريق المزة	٢١	٣	٣٦٥	٣٦٥	٣٦٣
النقطة 8	شارع العبدلي - طريق المزة	٢٢	٣	٣٦٥	٣٦٥	٣٦٣
	شارع العبدلي - طريق المزة	٢٣	٣	٣٦٥	٣٦٥	٣٦٣
	شارع العبدلي - طريق المزة	٢٤	٣	٣٦٥	٣٦٥	٣٦٣
النقطة 9	شارع العبدلي - طريق المزة	٢٥	٣	٣٦٥	٣٦٥	٣٦٣
	شارع العبدلي - طريق المزة	٢٦	٣	٣٦٥	٣٦٥	٣٦٣
	شارع العبدلي - طريق المزة	٢٧	٣	٣٦٥	٣٦٥	٣٦٣
النقطة 10	شارع العبدلي - طريق المزة	٢٨	٣	٣٦٥	٣٦٥	٣٦٣
	شارع العبدلي - طريق المزة	٢٩	٣	٣٦٥	٣٦٥	٣٦٣
	شارع العبدلي - طريق المزة	٣٠	٣	٣٦٥	٣٦٥	٣٦٣
النقطة 11	شارع العبدلي - طريق المزة	٣١	٣	٣٦٥	٣٦٥	٣٦٣
	شارع العبدلي - طريق المزة	٣٢	٣	٣٦٥	٣٦٥	٣٦٣
	شارع العبدلي - طريق المزة	٣٣	٣	٣٦٥	٣٦٥	٣٦٣
النقطة 12	شارع العبدلي - طريق المزة	٣٤	٣	٣٦٥	٣٦٥	٣٦٣
	شارع العبدلي - طريق المزة	٣٥	٣	٣٦٥	٣٦٥	٣٦٣
	شارع العبدلي - طريق المزة	٣٦	٣	٣٦٥	٣٦٥	٣٦٣
النقطة 13	شارع العبدلي - طريق المزة	٣٧	٣	٣٦٥	٣٦٥	٣٦٣
	شارع العبدلي - طريق المزة	٣٨	٣	٣٦٥	٣٦٥	٣٦٣
	شارع العبدلي - طريق المزة	٣٩	٣	٣٦٥	٣٦٥	٣٦٣
النقطة 14	شارع العبدلي - طريق المزة	٤٠	٣	٣٦٥	٣٦٥	٣٦٣
	شارع العبدلي - طريق المزة	٤١	٣	٣٦٥	٣٦٥	٣٦٣
	شارع العبدلي - طريق المزة	٤٢	٣	٣٦٥	٣٦٥	٣٦٣
النقطة 15	شارع العبدلي - طريق المزة	٤٣	٣	٣٦٥	٣٦٥	٣٦٣
	شارع العبدلي - طريق المزة	٤٤	٣	٣٦٥	٣٦٥	٣٦٣
	شارع العبدلي - طريق المزة	٤٥	٣	٣٦٥	٣٦٥	٣٦٣
النقطة 16	شارع العبدلي - طريق المزة	٤٦	٣	٣٦٥	٣٦٥	٣٦٣
	شارع العبدلي - طريق المزة	٤٧	٣	٣٦٥	٣٦٥	٣٦٣
	شارع العبدلي - طريق المزة	٤٨	٣	٣٦٥	٣٦٥	٣٦٣
النقطة 17	شارع العبدلي - طريق المزة	٤٩	٣	٣٦٥	٣٦٥	٣٦٣
	شارع العبدلي - طريق المزة	٥٠	٣	٣٦٥	٣٦٥	٣٦٣
	شارع العبدلي - طريق المزة	٥١	٣	٣٦٥	٣٦٥	٣٦٣
النقطة 18	شارع العبدلي - طريق المزة	٥٢	٣	٣٦٥	٣٦٥	٣٦٣
	شارع العبدلي - طريق المزة	٥٣	٣	٣٦٥	٣٦٥	٣٦٣
	شارع العبدلي - طريق المزة	٥٤	٣	٣٦٥	٣٦٥	٣٦٣
النقطة 19	شارع العبدلي - طريق المزة	٥٥	٣	٣٦٥	٣٦٥	٣٦٣
	شارع العبدلي - طريق المزة	٥٦	٣	٣٦٥	٣٦٥	٣٦٣
	شارع العبدلي - طريق المزة	٥٧	٣	٣٦٥	٣٦٥	٣٦٣
النقطة 20	شارع العبدلي - طريق المزة	٥٨	٣	٣٦٥	٣٦٥	٣٦٣
	شارع العبدلي - طريق المزة	٥٩	٣	٣٦٥	٣٦٥	٣٦٣
	شارع العبدلي - طريق المزة	٦٠	٣	٣٦٥	٣٦٥	٣٦٣
النقطة 21	شارع العبدلي - طريق المزة	٦١	٣	٣٦٥	٣٦٥	٣٦٣
	شارع العبدلي - طريق المزة	٦٢	٣	٣٦٥	٣٦٥	٣٦٣
	شارع العبدلي - طريق المزة	٦٣	٣	٣٦٥	٣٦٥	٣٦٣
النقطة 22	شارع العبدلي - طريق المزة	٦٤	٣	٣٦٥	٣٦٥	٣٦٣
	شارع العبدلي - طريق المزة	٦٥	٣	٣٦٥	٣٦٥	٣٦٣
	شارع العبدلي - طريق المزة	٦٦	٣	٣٦٥	٣٦٥	٣٦٣
النقطة 23	شارع العبدلي - طريق المزة	٦٧	٣	٣٦٥	٣٦٥	٣٦٣
	شارع العبدلي - طريق المزة	٦٨	٣	٣٦٥	٣٦٥	٣٦٣
	شارع العبدلي - طريق المزة	٦٩	٣	٣٦٥	٣٦٥	٣٦٣
النقطة 24	شارع العبدلي - طريق المزة	٧٠	٣	٣٦٥	٣٦٥	٣٦٣
	شارع العبدلي - طريق المزة	٧١	٣	٣٦٥	٣٦٥	٣٦٣
	شارع العبدلي - طريق المزة	٧٢	٣	٣٦٥	٣٦٥	٣٦٣
النقطة 25	شارع العبدلي - طريق المزة	٧٣	٣	٣٦٥	٣٦٥	٣٦٣
	شارع العبدلي - طريق المزة	٧٤	٣	٣٦٥	٣٦٥	٣٦٣
	شارع العبدلي - طريق المزة	٧٥	٣	٣٦٥	٣٦٥	٣٦٣
النقطة 26	شارع العبدلي - طريق المزة	٧٦	٣	٣٦٥	٣٦٥	٣٦٣
	شارع العبدلي - طريق المزة	٧٧	٣	٣٦٥	٣٦٥	٣٦٣
	شارع العبدلي - طريق المزة	٧٨	٣	٣٦٥	٣٦٥	٣٦٣
النقطة 27	شارع العبدلي - طريق المزة	٧٩	٣	٣٦٥	٣٦٥	٣٦٣
	شارع العبدلي - طريق المزة	٨٠	٣	٣٦٥	٣٦٥	٣٦٣
	شارع العبدلي - طريق المزة	٨١	٣	٣٦٥	٣٦٥	٣٦٣
النقطة 28	شارع العبدلي - طريق المزة	٨٢	٣	٣٦٥	٣٦٥	٣٦٣
	شارع العبدلي - طريق المزة	٨٣	٣	٣٦٥	٣٦٥	٣٦٣
	شارع العبدلي - طريق المزة	٨٤	٣	٣٦٥	٣٦٥	٣٦٣
النقطة 29	شارع العبدلي - طريق المزة	٨٥	٣	٣٦٥	٣٦٥	٣٦٣
	شارع العبدلي - طريق المزة	٨٦	٣	٣٦٥	٣٦٥	٣٦٣
	شارع العبدلي - طريق المزة	٨٧	٣	٣٦٥	٣٦٥	٣٦٣
النقطة 30	شارع العبدلي - طريق المزة	٨٨	٣	٣٦٥	٣٦٥	٣٦٣
	شارع العبدلي - طريق المزة	٨٩	٣	٣٦٥	٣٦٥	٣٦٣
	شارع العبدلي - طريق المزة	٩٠	٣	٣٦٥	٣٦٥	٣٦٣
النقطة 31	شارع العبدلي - طريق المزة	٩١	٣	٣٦٥	٣٦٥	٣٦٣
	شارع العبدلي - طريق المزة	٩٢	٣	٣٦٥	٣٦٥	٣٦٣
	شارع العبدلي - طريق المزة	٩٣	٣	٣٦٥	٣٦٥	٣٦٣
النقطة 32	شارع العبدلي - طريق المزة	٩٤	٣	٣٦٥	٣٦٥	٣٦٣
	شارع العبدلي - طريق المزة	٩٥	٣	٣٦٥	٣٦٥	٣٦٣
	شارع العبدلي - طريق المزة	٩٦	٣	٣٦٥	٣٦٥	٣٦٣
النقطة 33	شارع العبدلي - طريق المزة	٩٧	٣	٣٦٥	٣٦٥	٣٦٣
	شارع العبدلي - طريق المزة	٩٨	٣	٣٦٥	٣٦٥	٣٦٣
	شارع العبدلي - طريق المزة	٩٩	٣	٣٦٥	٣٦٥	٣٦٣
النقطة 34	شارع العبدلي - طريق المزة	١٠٠	٣	٣٦٥	٣٦٥	٣٦٣

الجدول 3-2 : مقارنة بين القيم الحسابية التحليلية والقيم المحسوبة باستخدام العلاقات التحليلية وقيمة القياس السابقة:



و يحتوي الجدول (3-1) نتائج القياسات الحقلية التي أجريت على الشوارع المارة في التقاطعات الأربع المذكورة سابقاً

S A VR	S	وقت و تاريخ التجربة	S	وقت و تاريخ التجربة	S	وقت و تاريخ التجربة	النوع	النقطة
(veh/h)	(veh/h)	dd:mm:hh: mm	(veh/h)	dd:mm:hh: mm	(veh/h)	dd:mm:hh: mm		
1215	1146	09:03:10:05	1231	08:03:10:05	1269	07:03:10:05	النوع الأول (شارع المزة - بيرك)	النقطة الأولى
1276	1285	09:03:10:25	1313	08:03:10:25	1230	07:03:10:25	النوع الثاني (شارع العبدلي - الجلاء)	النقطة الثانية
1435	1364	09:03:10:45	1363	08:03:10:45	1578	07:03:10:45	النوع الثالث (شارع العبدلي - الروضة)	النقطة الثالثة
1284	1164	09:03:11:03	1336	08:03:11:05	1351	07:03:11:00	النوع الرابع (شارع العبدلي - سعد)	النقطة الرابعة
1343	1250	09:03:11:30	1293	08:03:11:25	1485	07:03:11:20	النوع الخامس (شارع العبدلي - العين)	النقطة الخامسة
1121	1047	09:03:11:50	1084	08:03:11:55	1231	07:03:11:45	النوع السادس (شارع العبدلي - الصراص)	النقطة السادسة
1699	1759	09:03:12:00	1771	08:03:12:00	1567	07:03:12:00	النوع السابع (شارع العبدلي - حبلين)	النقطة السابعة
1419	1429	09:03:12:25	1400	08:03:12:25	1429	07:03:13:30	النوع الثامن (شارع العبدلي - العامل - حبلين)	النقطة الثامنة
1314	1500	09:03:12:25	1200	08:03:13:00	1243	07:03:13:05	النوع التاسع (شارع العبدلي - العامل - حبلين)	النقطة التاسعة
1301	1180	09:03:12:48	1292	08:03:12:40	1431	07:03:12:45	النوع العاشر (شارع العبدلي - العامل - حبلين)	النقطة العاشرة
1310	1334	09:03:12:30	1338	08:03:12:25	1259	07:03:12:30	النوع الحادي عشر (شارع العبدلي - العامل - حبلين)	النقطة الحادية عشر
1244	1265	09:03:12:25	1172	08:03:13:40	1296	07:03:13:30	النوع الثاني عشر (شارع العبدلي - عز الدين)	النقطة الثانية عشر
909	917	09:03:13:10	856	08:03:13:20	954	07:03:13:15	النوع الثالث عشر (شارع العبدلي - زيد)	النقطة الثالث عشر
1301	1314	09:03:14:10	1269	08:03:14:15	1321	07:03:14:00	النوع الرابع عشر (شارع العبدلي - الفحاء)	النقطة الرابعة عشر
1359	1299	09:03:13:45	1406	08:03:13:55	1373	07:03:14:00	النوع الخامس عشر (شار	

الطريقة المستخدمة في القيم المحسوبة لعامل غزارة الإشباع (s) معأخذ العوامل الممكنة جميعها بالحساب عامل مهم مثل عرض الحارة المرورية الواحد وعامل تأثير العربات الثقيلة وعامل الطريق .

- عامل وجود حارة توقف على جانب الطريق
- عامل وجود توقف للباصات بالقرب من منطقة

التقطاع

- عامل طبيعة المنطقة

- عامل استخدام الحارة المرورية

- عامل الانعطاف نحو اليمين أو اليسار

- عامل تأثير المشاة والدراجات

إذ توضح العلاقات التحليلية مدى تأثير كل من العوامل في حساب غزارة الإشباع، ويمكن من خلال دراسة هذه العوامل استنتاج التوصيات التالية لزيادة غزارة الإشباع دون الحاجة إلى أعمال صناعية مكلفة.

- تأكيد ضرورة تحديد حارات المرور في مجال التقطاع والأذرع المرتبطة بشكل دائم وفق الكودات العالمية من اصطدام العشوائي للمركبات أمام الإشارات الضوئية .

- زيادة عدد حارات التوقف في أذرع التقطاع على أن لا يقل عرض الحارة الواحدة عن القيم المسموحة في الكودات.

- عدم السماح لتوقف السيارات أو وقوفها في منطقة التقطاع بشكل كامل

- توضيح موافق الباصات والنقل العام بعيداً عن مجال تأثير التقطاع

- إعادة دراسة حركات الانعطاف نحو اليمين واليسار بحيث لا تؤثر في غزارة الإشباع بالاتجاهات الرئيسية للتقطاع.

مدى نجاحها والجدوى الاقتصادية منها قبل تطبيقها على أرض الواقع.

و غالباً ما تستخدم الطرائق التحليلية المختلفة في الحسابات الخاصة بالجريان المروري التي تم تطويرها ضمن الكودات العالمية المختلفة من خلال نتائج البحوث المرورية المجرأة ضمن ظروف البلد الغربية التي ترعى هذه البحوث وتدعمها .

ومن المعلوم لدى العاملين والمتخصصين في هذا المجال أن خصائص الحركة المرورية تختلف من بلد إلى آخر حسب الظروف المحيطة والسلوك المروري للشعوب المختلفة والقوانين الحاكمة وجودة الشبكة الطرقية وتطويرها، فضلاً عن عوامل أخرى كثيرة، وهذا ما يجعل استخدام الطرائق وال العلاقات المعتمدة في الكودات العالمية المختلفة يؤدي إلى نتائج مختلفة تكون في معظم الأحيان بعيدة عن النتائج الواقعية ضمن الظروف المحلية السائدة في مدن القطر العربي السوري ومحافظاته.

من هنا تتبع أهمية هذا البحث في بيان الاختلاف بين نتائج الحساب باستخدام الطرائق التحليلية المختلفة ونتائج القياس الواقعي الحقلي لغزارة الإشباع المروري للتقاطعات المداربة بالإشارات الضوئية، هذا العامل المروري الأساسي الذي يدخل في حساب معظم خصائص الجريان المروري على التقاطعات المداربة بالإشارات الضوئية ويسهم في محاولة تقدير القيم الحقيقة الواقعية له .

ولاسيما لدى دراسة التقاطعات داخل المدن الكبرى ومدى الجدواوية في تحويل التقاطعات المداربة بالإشارات الضوئية إلى تقاطعات بمستويين بهدف تحقيق من الإزدهار المروري.

إن المقارنة بين العلاقات التحليلية المختلفة الموضحة في الفصل الثاني من هذا البحث بين مدى تأثير

ولا بد أن نؤكد أن هذا البحث يشكل فقط الخطوة الأولى على أن تتبعه العديد من البحوث الأخرى في هذا المجال؛ تشمل دراسة العوامل و المؤشرات المرورية الأخرى في ظروف مدينة دمشق.

المراجع

- [1] Highway Capacity Manual-2000 HCM 2000.
- [2] Traffic Engineering, second edition, W.R. McSHANE, R.B.ROESS, E.S. PRASSAS;Prentice-Hall, USA 1998.
- [3] Transportation and Traffic Engineering Handboock, second edition; W.S. Homburger, L.E. Keefer, W.R. McGrath; INSTITUTE OF TRANSPORTATION ENGINEERS ite; Prentice-Hall, INC, Englewood Cliffs, New Jersey 07632; 1982.
- [4] Manual Of Transportaion Engineering Studies, H.D. Robertson, J.E. Hummer, D.C. Nelson; INSTITUTE OF TRANSPORTATION ENGINEERS ite;; Prentice- Hall, INC, Englewood Cliffs, New Jersey 07632; 1994.
- [5] The Study On Urban Transportation Planning Of Damascus City In The Syrian Arab Republic; Japan International Cooperation Agency; Ministry of Interior, Damascus Governorate; 1998.

- ضرورة إجراء العديد من البحوث اللاحقة لاستنتاج عوامل معايير للحساب التحليلي لغزاره الإشباع والمواصفات المرورية الأخرى بما يتاسب ومعطيات الظروف المحلية داخل مدينة دمشق .

تكمن أهمية هذا البحث بكونه يلتقي الأضواء على مختلف الطرق الممكنة في حساب غزاره الإشباع و بين الفروقات الناتجة بين الطريقة التحليلية و الطريقة التجريبية و فق الظروف المحلية السائدة في مدينة دمشق. و هذا يساعد في تطوير العلاقات الحسابية مستقبلاً في سبيل زيادة الدقة في الدراسات المرورية المحلية في ظروف مدينة دمشق. و من أهم النتائج التي توصل إليها البحث نتيجة التجارب المرورية في الموقع أن قيمة غزاره الإشباع الفعلية أقل من القيمة المحسوبة نظرياً، وهذا يعود إلى عدة أسباب أهمها:

- سوء حالة الطرق داخل المدينة بشكل عام.
- عدم التقيد بالسير ضمن الحارة المرورية و ضوابط تغيير الحارة خلال السير.

- عدم التقيد بالقوانين المرورية من قبل السائقين.
- عرقلة السير من خلال التوقف غير النظامي للمركبات على طرف الطريق.

كما تنص مظم الكودات المتخصصة فإن أفضل طريقة للحصول على قيم واقعية للمؤشرات المرورية هي بالقياس الحقلي على أرض الواقع إذا كان ذلك ممكناً. أمّا في حال تعذر ذلك فيمكن الاستعانة بالطرائق التحليلية مع معايير النتائج بعوامل تتناسب و الواقع.

كما تشير نتائج هذا البحث التي يوضحها الجدولان 2-3 أنه يمكن الحصول على نتائج أقرب إلى الواقع لدى حساب غزاره الإشباع تحليلياً في ظروف مدينة دمشق، من خلال ضرب الناتج بعامل تصحيح مقداره . 0.92